

求解二维Allen-Cahn方程的保正隐式差分格式

赵紫琳

江西科技学院理学教学部, 江西 南昌

收稿日期: 2025年4月23日; 录用日期: 2025年5月16日; 发布日期: 2025年5月28日

摘要

本文研究求解二维Allen-Cahn方程的保正隐式差分格式。通过证明得到当网格比满足 $1 + \tau - 2R_x - 2R_y \geq 0$ 时, 差分解具有保正性, 且在无穷范数意义下有 $O(\tau + h_x^2 + h_y^2)$ 的收敛阶, 最后数值实验表明数值结果与理论结果相吻合。

关键词

Allen-Cahn方程, 保正隐式差分格式, 保正性, 收敛性

Positive-Preserving Implicit Difference Scheme for Solving Two-Dimensional Allen-Cahn Equation

Zilin Zhao

Science Teaching Department, Jiangxi University of Technology, Nanchang Jiangxi

Received: Apr. 23rd, 2025; accepted: May 16th, 2025; published: May 28th, 2025

Abstract

In this paper, we study the positive-preserving implicit difference scheme for solving two-dimensional Allen-Cahn equation. It is proved that when the grid ratio satisfies $1 + \tau - 2R_x - 2R_y \geq 0$, the difference solution is positive-preserving and has the convergence order of $O(\tau + h_x^2 + h_y^2)$ in the sense of infinite norm. Finally, numerical experiments show that the numerical results are consistent with the theoretical results.

Keywords

Allen-Cahn Equation, Positive-Preserving Implicit Difference Scheme, Positive-Preserving, Convergence

Copyright © 2025 by author(s) and Hans Publishers Inc.

This work is licensed under the Creative Commons Attribution International License (CC BY 4.0).

<http://creativecommons.org/licenses/by/4.0/>



Open Access

1. 引言

Allen 和 Cahn [1] 在描述晶体中反相边界运动时，首次提出 Allen-Cahn 方程。该方程广泛应用于各种领域[1]-[7]，例如二元合金在固定温度下的相分离过程、图像分割、囊泡膜、固体的成核、材料科学中的相变和界面动力学等。

本文将研究如下二维 Allen-Cahn 方程的初边值问题(IVBP)

$$u_t - \alpha \Delta u + u^3 - u = 0, \quad (x, y) \in \Omega, \quad 0 < t \leq T, \quad (1)$$

$$u(x, y, 0) = u_0(x, y), \quad (x, y) \in \bar{\Omega}, \quad (2)$$

$$u(x, y, t) = 0, \quad (x, y) \in \Gamma, \quad 0 \leq t \leq T. \quad (3)$$

其中，参数 $\alpha \geq 0$ 代表界面宽度， $u(x, y, t)$ 表示二元合金中金属部分的浓度， $\bar{\Omega} = [X_l, X_r] \times [Y_l, Y_r]$ ， Ω 为 $\bar{\Omega}$ 的内部点， Γ 为 $\bar{\Omega}$ 的边界点。

Allen-Cahn 方程具有重要的理论意义和实际意义，因此对其理论和数值方面的研究显得尤为重要。一方面，文献[8]-[12]已经得到了许多的理论结果，例如，精确解的存在性和极大值原理、精确解的动力学行为、平衡解的性质，以及亚稳态模式的生成、持续和湮灭等。此外，文献[13][14]分别通过 tanh-coth 法和首次积分法得到了部分特殊的精确解。另一方面，Allen-Cahn 方程数值方法的研究受到了广泛关注。例如，差分法[15][16]、有限元法[17][18]。Tang 等[19]提出了一种显-隐式差分方法，该方法在时空方向均有一阶精度。随后，一维和高维 Allen-Cahn 方程[20]-[26]的各种高阶差分方法被建立。上述保结构算法都是全离散的隐式格式，因此计算相对复杂。

本文将构造保正隐式差分格式，应用 Vietta's 定理改造为显式差分方法，巧妙地避免了使用迭代法求解，提高了计算效率，此外该方法满足保正性的数学性质。

2. 记号与引理

首先，令时间步长 $\tau = T/N (N \in \mathbb{Z}^+)$ ， $t_k = k\tau (0 \leq k \leq N)$ ，将时间区域 $[0, T]$ 分割成 $\bar{\Omega}_\tau = \{t_k | k\tau, 0 \leq k \leq N\}$ 。在 $\bar{\Omega}_\tau$ 中，引入记号 $\delta_t V^k = (V^{k+1} - V^k)/\tau$ 。

对于空间方向，记空间区域 $\Omega = (X_l, X_r) \times (Y_l, Y_r)$ ，令 $h_x = (X_r - X_l)/M_x$ ， $h_y = (Y_r - Y_l)/M_y$ 分别为 x 和 y 方向的空间步长，其中 M_x 、 M_y 为正整数。记 $x_i = X_l + ih_x (0 \leq i \leq M_x)$ ， $y_j = Y_l + jh_y (0 \leq j \leq M_y)$ 。

定义离散网格 $\Omega_h = \{(i, j) | 1 \leq i \leq M_x - 1, 1 \leq j \leq M_y - 1\}$ 、 $\partial\Omega_h = \{(i, j) | i, j = 0 \text{ 或 } i = M_x, j = M_y\}$ 和 $\bar{\Omega}_h = \Omega_h \cup \partial\Omega_h$ 。设 $\Pi_h = \{V_{i,j} | (i, j) \in \bar{\Omega}_h\}$ 和 $\Pi_h^0 = \{V_{i,j} | (i, j) \in \bar{\Omega}_h \text{ 且当 } (i, j) \in \partial\Omega_h \text{ 时 } V_{i,j} = 0\}$ 为 $\bar{\Omega}_h$ 上的网格函数。引入如下差分算子：

$$\delta_x^2 V_{i,j} = (V_{i-1,j} - 2V_{i,j} + V_{i+1,j})/h_x^2, \quad \delta_y^2 V_{i,j} = (V_{i,j-1} - 2V_{i,j} + V_{i,j+1})/h_y^2, \quad \Delta_h V_{i,j} = \delta_x^2 V_{i,j} + \delta_y^2 V_{i,j}$$

以及对任意的 $V^k \in \Pi_h^0 (k = 0, 1, \dots, N)$, 定义如下范数

$$\begin{aligned}\|V^k\|_\infty &= \max_{(i,j) \in \bar{\Omega}_h, 0 \leq k \leq N} (V_{i,j}^k), \|V^k\| = \sqrt{h_x h_y \sum_{i=1}^{M_x-1} \sum_{j=1}^{M_y-1} (V_{i,j}^k)^2}, \\ \|\delta_x V^k\| &= \sqrt{h_x h_y \sum_{i=0}^{M_x-1} \sum_{j=1}^{M_y-1} \left(\delta_x V_{i+\frac{1}{2}, j}^k \right)^2}, \quad \|\delta_y V^k\| = \sqrt{h_x h_y \sum_{i=1}^{M_x-1} \sum_{j=0}^{M_y-1} \left(\delta_y V_{i, j+\frac{1}{2}}^k \right)^2}, \\ \|V^k\|_{H^1} &= \sqrt{\|V^k\|^2 + \|\delta_x V^k\|^2 + \|\delta_y V^k\|^2}.\end{aligned}$$

引理 1 (Gronwall 不等式) 设 $\{F^{k+1} | k \geq 0\}$ 为非负序列, 且满足

$$F^{k+1} \leq (1 + c\tau) F^k + \tau g, \quad k = 0, 1, 2, \dots,$$

其中, c 和 g 为非负常数, 则有

$$F^k \leq e^{ck\tau} \left(F^0 + \frac{g}{c} \right), \quad k = 0, 1, 2, \dots$$

3. 差分格式的建立

记 $U_{i,j}^k$ 和 $u_{i,j}^k$ 分别表示方程(1)~(3)在 (x_i, y_j, t_k) 点处的精确解和数值解。在结点 (x_i, y_j, t_k) 处离散方程(1), 并注意到初边值条件(2)~(3), 可得

$$\delta_t U_{i,j}^k - \alpha \Delta_h U_{i,j}^k + (U_{i,j}^{k+1})^2 U_{i,j}^k - U_{i,j}^k = R_{i,j}^k, \quad (i, j) \in \Omega_h, \quad 1 \leq k \leq N, \quad (4)$$

$$U_{i,j}^0 = u_0(x_i, y_j), \quad (i, j) \in \bar{\Omega}_h, \quad (5)$$

$$U_{i,j}^k = 0, \quad (i, j) \in \partial\Omega_h, \quad 0 \leq k \leq N, \quad (6)$$

设初边值问题(2)~(3)的精确解 $u(x, y, t) \in C^{4,4,2}(\Omega \times [0, T])$, 则存在常数 C_1 使得

$$|R_{i,j}^k| \leq C_1 (\tau + h_x^2 + h_y^2), \quad (i, j) \in \bar{\Omega}_h, \quad 0 \leq k \leq N, \quad (7)$$

成立。

在方程(4)中略去误差项 $R_{i,j}^k$, 用数值解 $u_{i,j}^k$ 代替精确解 $U_{i,j}^k$, 得到如下保正隐式差分格式:

$$\delta_t u_{i,j}^k - \alpha \Delta_h u_{i,j}^k + (u_{i,j}^{k+1})^2 u_{i,j}^k - u_{i,j}^k = 0, \quad (i, j) \in \Omega_h, \quad 1 \leq k \leq N, \quad (8)$$

$$u_{i,j}^0 = u_0(x_i, y_j), \quad (i, j) \in \bar{\Omega}_h, \quad (9)$$

$$u_{i,j}^k = 0, \quad (i, j) \in \partial\Omega_h, \quad 0 \leq k \leq N. \quad (10)$$

4. 差分格式的保正性

本节讨论差分格式(8)~(10)的解的保正性。

记 $R_x = \frac{\alpha\tau}{h_x^2}$ 和 $R_y = \frac{\alpha\tau}{h_y^2}$ 。定理 4.1 表明当初值 $u_0(x_i, y_j)$ 非负时, 差分格式(8)~(10)的解是非负的。

定理 4.1 令 $\{u_{i,j}^k | (i, j) \in \bar{\Omega}_h, 0 \leq k \leq N\}$ 是差分格式(8)~(10)的解。假设初值条件满足 $u_0(x_i, y_j) \geq 0$, 当 $1 + \tau - 2R_x - 2R_y \geq 0$, 其解 $u_{i,j}^k$ 仍然满足 $u_{i,j}^k \geq 0$, $(i, j) \in \bar{\Omega}_h$, $0 \leq k \leq N$ 。

证明 下面证明差分格式(8)~(10)的保正性, 首先将利用差分格式(8)~(10)进行整理得:

$$\tau u_{i,j}^k (u_{i,j}^{k+1})^2 + u_{i,j}^{k+1} - R_x u_{i-1,j}^k - R_x u_{i+1,j}^k - (1 + \tau - 2R_x - 2R_y) u_{i,j}^k - R_y u_{i,j-1}^k - R_x u_{i,j+1}^k = 0$$

利用韦达定理等价写成如下形式:

$$u_{i,j}^{k+1} = \frac{2H_{i,j}^k}{1 + \sqrt{1 + 4\tau u_{i,j}^k H_{i,j}^k}}, \quad (i,j) \in \Omega_h, \quad 1 \leq k \leq N. \quad (11)$$

其中, $H_{i,j}^k = R_x u_{i-1,j}^k + R_x u_{i+1,j}^k + (1 + \tau - 2R_x - 2R_y) u_{i,j}^k + R_y u_{i,j-1}^k + R_x u_{i,j+1}^k$ 。

当 $k=0$ 时, $u_{i,j}^k = u_0(x_i, y_j) \geq 0$, $(i,j) \in \bar{\Omega}_h$ 显然成立。假设 $k=1, 2, \dots, K-1$ 时, 有 $u_{i,j}^k \geq 0$, $(i,j) \in \Omega_h$ 成立。根据边界条件 $u_{i,j}^k = 0$, $(i,j) \in \partial\Omega_h$, $0 \leq k \leq N$, 可知 $u_{i,j}^k \geq 0$, $(i,j) \in \bar{\Omega}_h$, $k=1, 2, \dots, K-1$ 成立。

下面由归纳假设证明当 $k=1, 2, \dots, K-1, K$ 时, 有 $u_{i,j}^k \geq 0$, $(i,j) \in \Omega_h$ 成立。首先令 $u_{i,j}^{k+1} = f(x)$, $x = H_{i,j}^k$, 定义函数

$$f(x) = \frac{2x}{1 + \sqrt{1 + 4\tau u_{i,j}^k x}}, \quad (12)$$

其中, 当 $1 + \tau - 2R_x - 2R_y \geq 0$ 时, $x \geq 0$, 对 $f(x)$ 求导得

$$f'(x) = \frac{2 \left[1 + 2\tau u_{i,j}^k x + \sqrt{1 + 4\tau u_{i,j}^k x} \right]}{\left[1 + \sqrt{1 + 4\tau u_{i,j}^k x} \right]^2 \sqrt{1 + 4\tau u_{i,j}^k x}} \geq 0 \quad (13)$$

因此, $f(x)$ 是单调递增函数, 从而可得

$$f(x) \geq f(0) = 0 \quad (14)$$

因此, 有 $u_{i,j}^k \geq 0$, $(i,j) \in \Omega_h$, 又因为 $u_{i,j}^K = 0$, $(i,j) \in \partial\Omega_h$, 所以有 $u_{i,j}^k \geq 0$, $(i,j) \in \bar{\Omega}_h$ 成立。由归纳假设可证定理 4.1 成立。□

5. 差分格式的收敛性

定理 4.2 令 $\{u_{i,j}^k | (i,j) \in \bar{\Omega}_h, 0 \leq k \leq N\}$ 是差分格式(8)~(10)的数值解, $\{U_{i,j}^k | (i,j) \in \bar{\Omega}_h, 0 \leq k \leq N\}$ 是(1)~(3)的精确解。令 $e_{i,j}^k = U_{i,j}^k - u_{i,j}^k$, $(i,j) \in \bar{\Omega}_h$, $0 \leq k \leq N$, 当 $u_0(x_i, y_j) \geq 0$, $1 + \tau - 2R_x - 2R_y \geq 0$ 时, 则有如下

$$\|e^k\|_\infty \leq C_2 (\tau + h_x^2 + h_y^2), \quad 0 \leq k \leq N, \quad (15)$$

成立, 其中 $C_2 = e^T$ 。

证明 下面证明差分格式(8)~(10)的最大模估计, 将方程(4)~(6)和(8)~(10)相减, 得到如下误差方程:

$$\delta_t e_{i,j}^k - \alpha \Delta_h e_{i,j}^k + (U_{i,j}^{k+1})^2 U_{i,j}^k - (u_{i,j}^{k+1})^2 u_{i,j}^k = R_{i,j}^k, \quad (i,j) \in \Omega_h, \quad 1 \leq k \leq N, \quad (16)$$

$$e_{i,j}^0 = 0, \quad (i,j) \in \bar{\Omega}_h, \quad (17)$$

$$e_{i,j}^k = 0, \quad (i,j) \in \partial\Omega_h, \quad 0 \leq k \leq N, \quad (18)$$

其中, $(U_{i,j}^{k+1})^2 U_{i,j}^k - (u_{i,j}^{k+1})^2 u_{i,j}^k = (U_{i,j}^{k+1})^2 e_{i,j}^k - (U_{i,j}^{k+1} + u_{i,j}^{k+1})^2 u_{i,j}^k e_{i,j}^{k+1}$ 。

将(16)等价地写成如下形式:

$$\begin{aligned} & \left[1 + \tau u_{i,j}^k (U_{i,j}^{k+1} + u_{i,j}^{k+1}) \right] e_{i,j}^{k+1} \\ &= R_x e_{i-1,j}^k + R_x e_{i+1,j}^k + \left[(1 + \tau - 2R_x - 2R_y) - \tau (U_{i,j}^{k+1})^2 \right] e_{i,j}^k + R_y e_{i,j-1}^k + R_y e_{i,j+1}^k + \tau R_{i,j}^k, \end{aligned} \quad (19)$$

$(i,j) \in \Omega_h, \quad 1 \leq k \leq N,$

对(19)两端分别取绝对值，并运用三角不等式，不难得到

$$\begin{aligned} |e_{i,j}^{k+1}| &\leq \left[1 + \tau u_{i,j}^k (U_{i,j}^{k+1} + u_{i,j}^{k+1}) \right] |e_{i,j}^k| \\ &\leq R_x \|e^k\|_\infty + R_x \|e^k\|_\infty + \left\{ 1 - 2R_x - 2R_y + \left[1 - (U_{i,j}^k)^2 \right] \tau \right\} \|e^k\|_\infty + R_y \|e^k\|_\infty + R_y \|e^k\|_\infty + \tau \|R^k\|_\infty \\ &\leq (1 + \tau) \|e^k\|_\infty + \tau \|R^k\|_\infty \end{aligned} \quad (20)$$

则

$$\|e^{k+1}\|_\infty \leq (1 + \tau) \|e^k\|_\infty + \tau \|R^k\|_\infty, \quad (21)$$

再运用引理 1 可得

$$\|e^{k+1}\|_\infty \leq e^T \|R^k\|_\infty. \quad (22)$$

定理 3.2 证毕。 \square

6. 数值算例

本节将给出求解一维和二维 Allen-Cahn 方程的两个数值算例。算例 1 和算例 2 表明保正隐式差分格式(8)~(10)在时空方向分别具有一阶和二阶精度，具有保正的数学性质。这些数值结果和理论结果是吻合的。

算例 1 首先考虑如下一维 Allen-Cahn 方程的 IBVP

$$u_t - \alpha u_{xx} + u^3 - u = 0, \quad -L < x < L, \quad 0 < t \leq T, \quad (23)$$

$$u(x, 0) = \frac{1}{2} \tanh\left(-\frac{1}{2\sqrt{2}}x\right) + \frac{1}{2}, \quad -L \leq x \leq L, \quad (24)$$

$$u(L, t) = \frac{1}{2} \tanh\left[-\frac{1}{2\sqrt{2}}\left(L - \frac{3}{\sqrt{2}}t\right)\right] + \frac{1}{2}, \quad 0 \leq t \leq T \quad (25)$$

$$u(-L, t) = \frac{1}{2} \tanh\left[-\frac{1}{2\sqrt{2}}\left(-L - \frac{3}{\sqrt{2}}t\right)\right] + \frac{1}{2}, \quad 0 \leq t \leq T \quad (26)$$

当 $\alpha = 1$ 时，该方程的精确解为：

$$u(x, t) = \frac{1}{2} \tanh\left[-\frac{1}{2\sqrt{2}}\left(x - \frac{3}{\sqrt{2}}t\right)\right] + \frac{1}{2}$$

令 $\Omega = [-5, 5]$, $[0, T] = [0, 1]$, 由差分格式(8)~(10)获得的数值解，在 $t=1$ 处的 L^∞ -范数、 L^2 -范数和 H^1 -范数误差及相应的收敛阶分别记为 ME 、 LE 、 HE 、 r^∞ 、 r_{L^2} 、 r_H 。

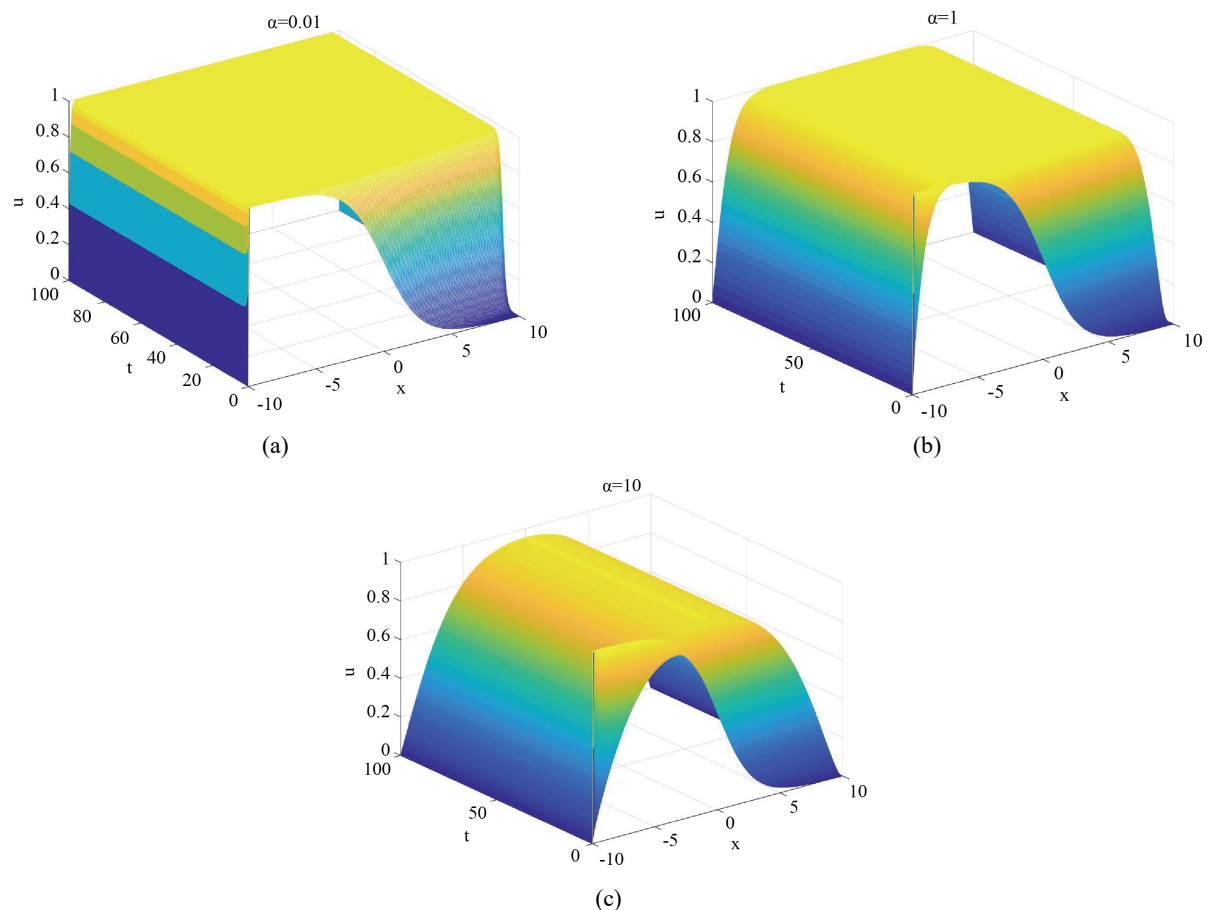
表 1 给出了差分格式(8)~(10)在取不同网格步长时所得数值解 u_i^k 的误差和收敛阶。它表明差分格式(8)~(10)在不同范数意义下在时空方向上分别具有一阶和二阶收敛阶。

为了验证数值解的保正性，记 $RT = 1 + \tau - 2R_x$ ，接下来在 $\Omega = [-10, 10]$ 、 $[0, T] = [0, 100]$ 上求解带任意参数 α 的 IBVP (23)~(26)。此时该问题没有精确解。

图 1 给出了当网格步长 $h_x = 1/16$ 、 $\tau = 0.5h_x^2/\alpha$ 以及参数 α 取 0.01, 0, 10 时运用差分法(8)~(10)所得数值解的曲面图。从该图可观察到当 $\alpha = 0.01, 1, 10$ 时， $RT \geq 0$ ，数值解具有保正性。而表 2 给出了当 $RT < 0$ 时，数值解不满足保正性，例如 $\alpha = 1, 10$, $h_x = 1/16$, $\tau = h_x^2$ 。

Table 1. Error and convergence order $\left(\tau = \frac{1}{2}h_x^2\right)$ of u_i^k when the difference scheme takes different step sizes**表 1.** 差分格式取不同步长时 u_i^k 的误差和收敛阶 $\left(\tau = \frac{1}{2}h_x^2\right)$

h_x	ME	r^∞	LE	r_{L^2}	HE	r_H	CPU
1/2	2.2262e-02	*	4.5074e-02	*	4.8544e-02	*	0.000181 s
1/4	5.9182e-03	1.9113	1.1954e-02	1.9148	1.2878e-02	1.9144	0.000424 s
1/8	1.5035e-03	1.9769	3.0347e-03	1.9778	3.2696e-03	1.9777	0.001239 s
1/16	3.7745e-04	1.9939	7.6162e-04	1.9944	8.2060e-04	1.9944	0.005073 s

**Figure 1.** Surface diagrams of numerical solution when taking $\alpha = 0.01, 1, 10$, $h_x = 1/16$, and $\tau = 0.5h_x^2/\alpha$ **图 1.** 取 $\alpha = 0.01, 1, 10$ 、 $h_x = 1/16$ 、 $\tau = 0.5h_x^2/\alpha$ 时数值解的曲面图**Table 2.** Numerical solution at $x = 0, t = 50$ when taking $\alpha = 1, 10$, $h_x = 1/16$, and $\tau = h_x^2$ **表 2.** 取 $\alpha = 1, 10$ 、 $h_x = 1/16$ 、 $\tau = h_x^2$ 时 $x = 0, t = 50$ 处的数值解

α	h_x	τ	网格点	数值解
1	1/16	1/256	$x = 0, t = 50$	$-1.2468e-60 - 22.6053i$
10	1/16	1/256	$x = 0, t = 50$	$-2.1950e-27 - 95.8794i$

算例 2 考虑如下二维 Allen-Cahn 方程的 IBVP

$$u_t - \alpha \Delta u + u^3 - u = 0, \quad (x, y) \in \Omega, \quad 0 < t \leq T, \quad (27)$$

$$u(x, y, 0) = \frac{1}{2} \tanh \left[-\frac{1}{2\sqrt{2}}(x \sin \varphi + y \cos \varphi) + C \right] + \frac{1}{2}, \quad (x, y) \in \bar{\Omega}, \quad (28)$$

$$u(x, y, t) = \frac{1}{2} \tanh \left[-\frac{1}{2\sqrt{2}}(x \sin \varphi + y \cos \varphi) + \frac{3}{4}t + C \right] + \frac{1}{2}, \quad (x, y) \in \Gamma, \quad 0 \leq t \leq T \quad (29)$$

当 $\alpha = 1$ 时, 该方程的精确解为:

$$u(x, y, t) = \frac{1}{2} \tanh \left[-\frac{1}{2\sqrt{2}}(x \sin \varphi + y \cos \varphi) + \frac{3}{4}t + C \right] + \frac{1}{2}$$

令 $\bar{\Omega} = [0, 1] \times [0, 1]$, $[0, T] = [0, 1]$, 由差分格式(8)~(10)获得的数值解, 在 $t = 1$ 处的 L^∞ -范数、 L^2 -范数和 H^1 -范数误差及相应的收敛阶分别记为 ME^* 、 LE^* 、 HE^* 、 \bar{r}_∞ 、 \bar{r}_{L^2} 、 \bar{r}_H 。

表 3 给出了差分格式(8)~(10)在取不同网格步长时所得数值解 $u_{i,j}^k$ 的误差和收敛阶。它表明差分格式(8)~(10)在不同范数意义下在时空方向上分别具有一阶和二阶收敛阶。

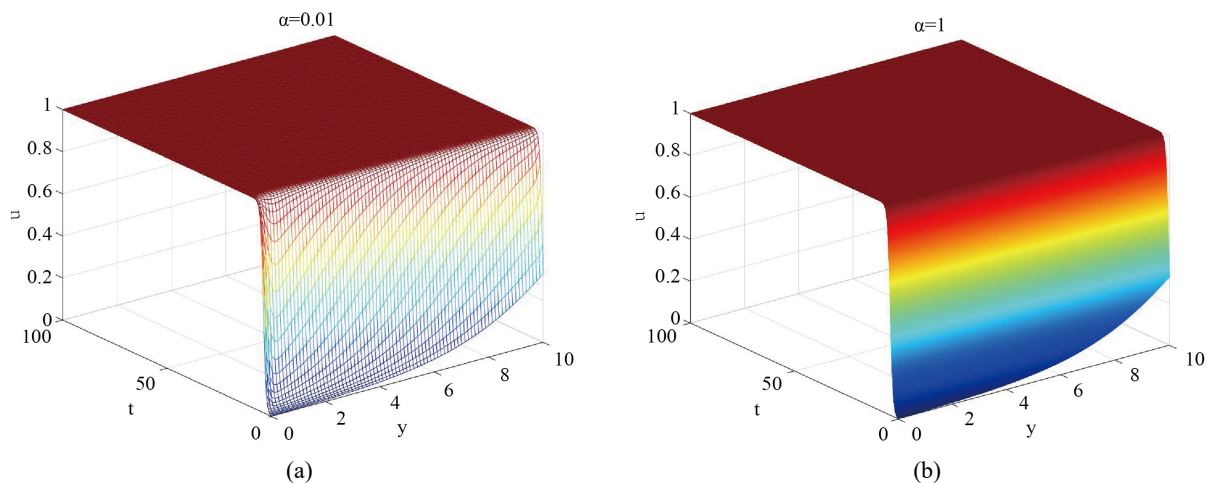
Table 3. Error and convergence order $\left(h_x^2 = h_y^2, \tau = \frac{1}{4}h_x^2\right)$ of $u_{i,j}^k$ when the difference scheme takes different step sizes

表 3. 差分格式取不同步长时 $u_{i,j}^k$ 的误差和收敛阶 $\left(h_x^2 = h_y^2, \tau = \frac{1}{4}h_x^2\right)$

h_x	ME^*	\bar{r}_∞	LE^*	\bar{r}_{L^2}	HE^*	\bar{r}_H	CPU
1/4	1.2419e-04	*	6.8822e-05	*	3.0778e-04	*	0.001641 s
1/8	3.2041e-05	1.9545	1.7924e-05	1.9410	8.2523e-05	1.8990	0.006714 s
1/16	8.0771e-06	1.9880	4.5230e-06	1.9866	2.0998e-05	1.9745	0.036086 s
1/32	2.0269e-06	1.9945	1.1333e-06	1.9967	5.2730e-06	1.9936	0.295275 s

为了验证差分格式(8)~(10)的保正性, 记 $RRT = 1 + \tau - 2R_x - 2R_y$, 下面在 $\Omega = [0, 10] \times [0, 10]$ 和 $[0, T] = [0, 100]$ 上求解带任意参数 α 的 IBVP (23)~(26)。此时该问题没有精确解。

图 2、图 3 分别展示了当网格步长 $h_x = h_y = 1/8$ 、 $\tau = 0.25h_x^2/\alpha$ 以及参数 α 取 0.01, 0, 10 时运用差分格



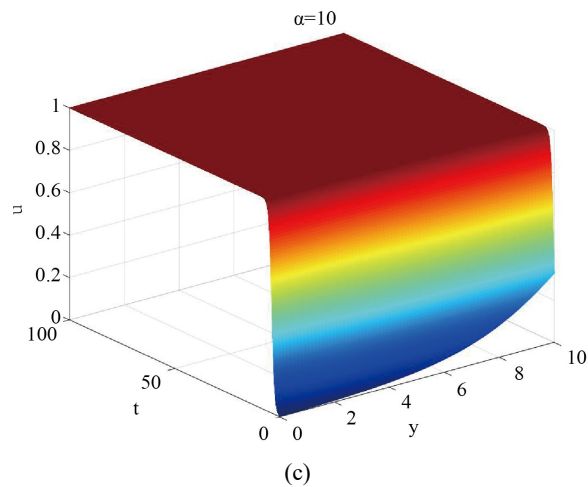


Figure 2. Surface diagrams of numerical solution of $x=5$ when taking $\alpha = 0.01, 1, 10$, $h_x = h_y = 1/8$, and $\tau = 0.25h_x^2/\alpha$

图 2. 取 $\alpha = 0.01, 1, 10$ 、 $h_x = h_y = 1/8$ 、 $\tau = 0.25h_x^2/\alpha$ 时 $x=5$ 数值解的曲面图

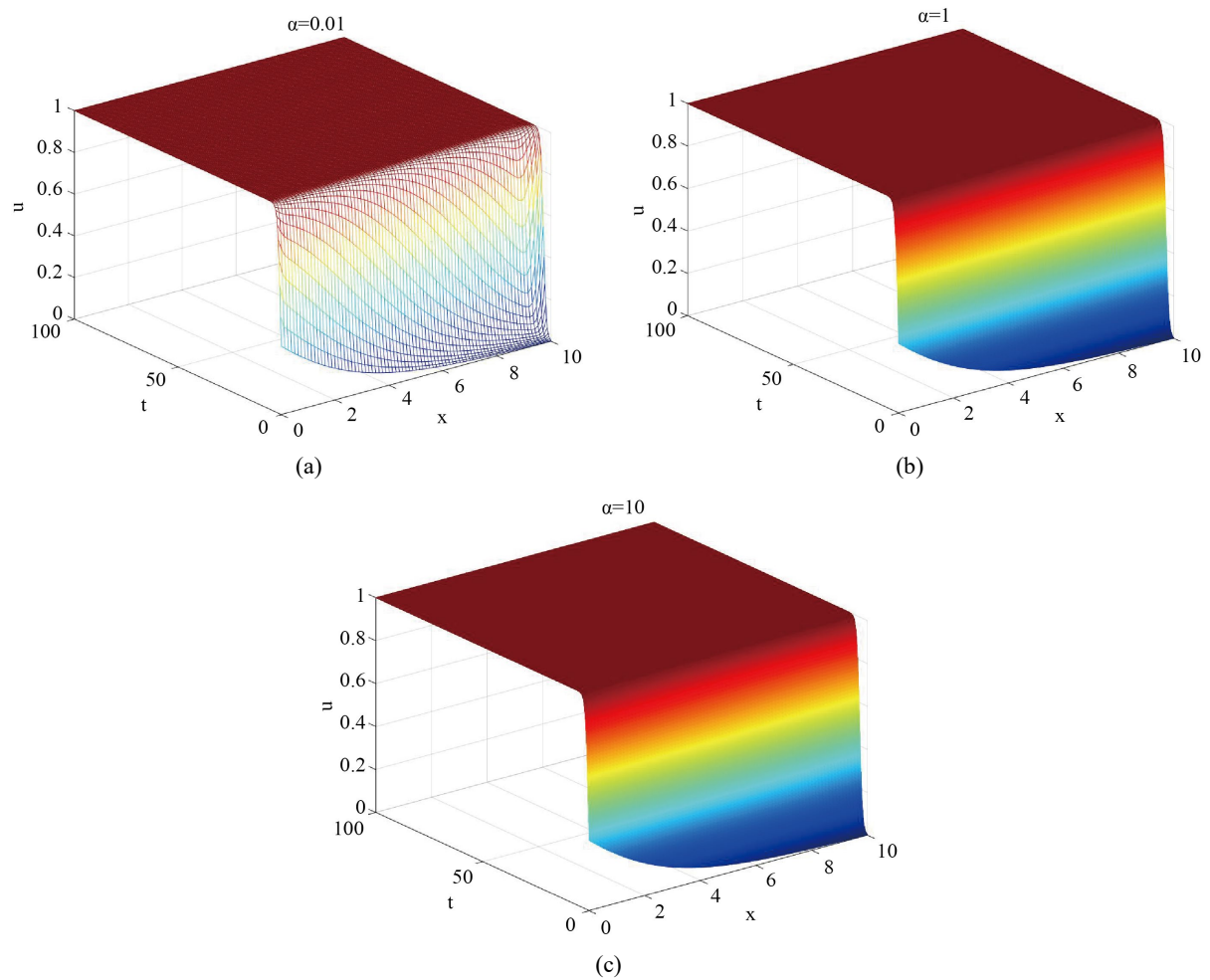


Figure 3. Surface diagrams of numerical solution of $y=5$ when taking $\alpha = 0.01, 1, 10$, $h_x = h_y = 1/8$, and $\tau = 0.25h_x^2/\alpha$

图 3. 取 $\alpha = 0.01, 1, 10$ 、 $h_x = h_y = 1/8$ 、 $\tau = 0.25h_x^2/\alpha$ 时 $y=5$ 数值解的曲面图

式(8)~(10)所得 $x=5$ 、 $y=5$ 时数值解的曲面图。图 4 展示了当网格步长 $h_x=h_y=1/8$ 、 $\tau=0.25h_x^2/\alpha$ 以及参数 α 取 0.01, 1, 10 时运用差分格式(8)~(10)所得不同 (x, y) 处数值解的曲面图。从这些图可观察到, 当 $\alpha=0.01, 1, 10$ 时, $RRT \geq 0$, 数值解具有保正性。而表 4 给出了当 $RRT < 0$ 时, 数值解不满足保正性, 例如 $\alpha=1, 10$, $h_x=h_y=1/4$, $\tau=h_x^2$ 。

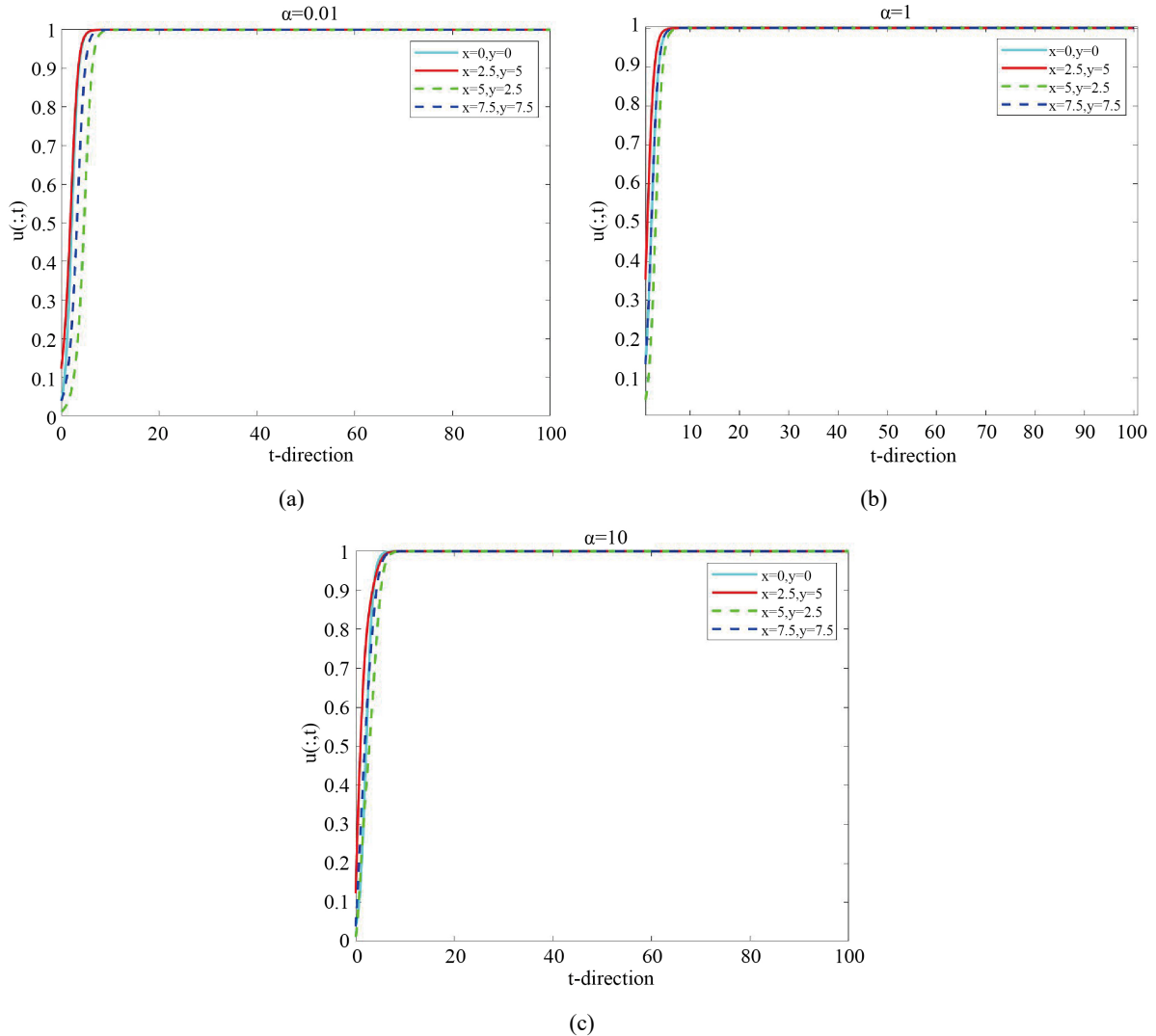


Figure 4. Curves of numerical solutions at different points (x, y) when taking $\alpha = 0.01, 1, 10$, $h_x = h_y = 1/8$, and $\tau = 0.25h_x^2/\alpha$

图 4. 取 $\alpha = 0.01, 1, 10$ 、 $h_x = h_y = 1/8$ 、 $\tau = 0.25h_x^2/\alpha$ 时不同 (x, y) 处数值解的曲线图

Table 4. Numerical solution at $x=5, y=5, t=50$ when taking $\alpha=1, 10$, $h_x=h_y=1/4$, and $\tau=h_x^2$

表 4. 取 $\alpha=1, 10$ 、 $h_x=h_y=1/4$ 、 $\tau=h_x^2$ 时 $x=5, y=5, t=50$ 处的数值解

α	h_x	τ	网格点	数值解
1	1/4	1/16	$x=5, y=5, t=50$	$-0.0000004 + 9.7468i$
10	1/4	1/16	$x=5, y=5, t=50$	$-0.000000000001 - 35.2156i$

7. 结论

本文对二维 Allen-Cahn 方程的初边值问题建立了一个保正隐式差分格式，证明了该格式具有保正的数学性质，且在 L^∞ -范数意义下有 $O(\tau + h_x^2 + h_y^2)$ 的收敛阶。此外，利用韦达定理将隐式格式改造成显式格式，极大地提高了计算效率。数值结果验证了只要网格步长以及参数 α 满足 $1 + \tau - 2R_x - 2R_y \geq 0$ ，则数值解就满足收敛阶为 $O(\tau + h_x^2 + h_y^2)$ 和保正性。

参考文献

- [1] Allen, S.M. and Cahn, J.W. (1979) A Microscopic Theory for Antiphase Boundary Motion and Its Application to Antiphase Domain Coarsening. *Acta Metallurgica*, **27**, 1085-1095. [https://doi.org/10.1016/0001-6160\(79\)90196-2](https://doi.org/10.1016/0001-6160(79)90196-2)
- [2] Wheeler, A.A., Boettinger, W.J. and McFadden, G.B. (1992) Phase-Field Model for Isothermal Phase Transitions in Binary Alloys. *Physical Review A*, **45**, 7424-7439. <https://doi.org/10.1103/physreva.45.7424>
- [3] Feng, X. and Prohl, A. (2003) Numerical Analysis of the Allen-Cahn Equation and Approximation for Mean Curvature Flows. *Numerische Mathematik*, **94**, 33-65. <https://doi.org/10.1007/s00211-002-0413-1>
- [4] Beneš, M., Chalupecký, V. and Mikula, K. (2004) Geometrical Image Segmentation by the Allen-Cahn Equation. *Applied Numerical Mathematics*, **51**, 187-205. <https://doi.org/10.1016/j.apnum.2004.05.001>
- [5] Golubović, L., Levandovsky, A. and Moldovan, D. (2011) Interface Dynamics and Far-from-Equilibrium Phase Transitions in Multilayer Epitaxial Growth and Erosion on Crystal Surfaces: Continuum Theory Insights. *East Asian Journal on Applied Mathematics*, **1**, 297-371. <https://doi.org/10.4208/eajam.040411.030611a>
- [6] Kim, J. (2012) Phase-Field Models for Multi-Component Fluid Flows. *Communications in Computational Physics*, **12**, 613-661. <https://doi.org/10.4208/cicp.301110.040811a>
- [7] He, D. and Pan, K. (2018) Maximum Norm Error Analysis of an Unconditionally Stable Semi-Implicit Scheme for Multi-Dimensional Allen-Cahn Equations. *Numerical Methods for Partial Differential Equations*, **35**, 955-975. <https://doi.org/10.1002/num.22333>
- [8] Hale, J. (2010) Asymptotic Behavior of Dissipative Systems. American Mathematical Society. <https://doi.org/10.1090/surv/025>
- [9] Temam, R. (2012) Infinite-Dimensional Dynamical Systems in Mechanics and Physics. Springer Science and Business Media.
- [10] Chafee, N. and Infante, E.F. (1974) A Bifurcation Problem for a Nonlinear Partial Differential Equation of Parabolic Type. *Applicable Analysis*, **4**, 17-37. <https://doi.org/10.1080/00036817408839081>
- [11] Chen, X. (2004) Generation, Propagation, and Annihilation of Metastable Patterns. *Journal of Differential Equations*, **206**, 399-437. <https://doi.org/10.1016/j.jde.2004.05.017>
- [12] Elliott, C.M. and Stuart, A.M. (1993) The Global Dynamics of Discrete Semilinear Parabolic Equations. *SIAM Journal on Numerical Analysis*, **30**, 1622-1663. <https://doi.org/10.1137/0730084>
- [13] Wazwaz, A. (2007) The Tanh-Coth Method for Solitons and Kink Solutions for Nonlinear Parabolic Equations. *Applied Mathematics and Computation*, **188**, 1467-1475. <https://doi.org/10.1016/j.amc.2006.11.013>
- [14] Taşcan, F. and Bekir, A. (2009) Travelling Wave Solutions of the Cahn-Allen Equation by Using First Integral Method. *Applied Mathematics and Computation*, **207**, 279-282. <https://doi.org/10.1016/j.amc.2008.10.031>
- [15] Feng, X., Song, H., Tang, T. and Yang, J. (2013) Nonlinear Stability of the Implicit-Explicit Methods for the Allen-Cahn Equation. *Inverse Problems & Imaging*, **7**, 679-695. <https://doi.org/10.3934/ipi.2013.7.679>
- [16] Long, J., Luo, C., Yu, Q. and Li, Y. (2019) An Unconditional Stable Compact Fourth-Order Finite Difference Scheme for Three Dimensional Allen-Cahn Equation. *Computers & Mathematics with Applications*, **77**, 1042-1054. <https://doi.org/10.1016/j.camwa.2018.10.028>
- [17] Chen, Y., Huang, Y. and Yi, N. (2019) A SCR-Based Error Estimation and Adaptive Finite Element Method for the Allen-Cahn Equation. *Computers & Mathematics with Applications*, **78**, 204-223. <https://doi.org/10.1016/j.camwa.2019.02.022>
- [18] Xiao, X., He, R. and Feng, X. (2019) Unconditionally Maximum Principle Preserving Finite Element Schemes for the Surface Allen-Cahn Type Equations. *Numerical Methods for Partial Differential Equations*, **36**, 418-438. <https://doi.org/10.1002/num.22435>
- [19] Tao Tang, T.T. and Jiang Yang, J.Y. (2016) Implicit-Explicit Scheme for the Allen-Cahn Equation Preserves the Maximum Principle. *Journal of Computational Mathematics*, **34**, 451-461. <https://doi.org/10.4208/jcm.1603-m2014-0017>

-
- [20] Hou, T., Wang, K., Xiong, Y., Xiao, X. and Zhang, S. (2017) Discrete Maximum-Norm Stability of a Linearized Second-Order Finite Difference Scheme for Allen-Cahn Equation. *Numerical Analysis and Applications*, **10**, 177-183.
<https://doi.org/10.1134/s1995423917020082>
 - [21] Hou, T. and Leng, H. (2020) Numerical Analysis of a Stabilized Crank-Nicolson/Adams-Basforth Finite Difference Scheme for Allen-Cahn Equations. *Applied Mathematics Letters*, **102**, Article ID: 106150.
<https://doi.org/10.1016/j.aml.2019.106150>
 - [22] Hou, T., Xiu, D. and Jiang, W. (2020) A New Second-Order Maximum-Principle Preserving Finite Difference Scheme for Allen-Cahn Equations with Periodic Boundary Conditions. *Applied Mathematics Letters*, **104**, Article ID: 106265.
<https://doi.org/10.1016/j.aml.2020.106265>
 - [23] Feng, J., Zhou, Y. and Hou, T. (2021) A Maximum-Principle Preserving and Unconditionally Energy-Stable Linear Second-Order Finite Difference Scheme for Allen-Cahn Equations. *Applied Mathematics Letters*, **118**, Article ID: 107179.
<https://doi.org/10.1016/j.aml.2021.107179>
 - [24] Tan, Z. and Zhang, C. (2021) The Discrete Maximum Principle and Energy Stability of a New Second-Order Difference Scheme for Allen-Cahn Equations. *Applied Numerical Mathematics*, **166**, 227-237.
<https://doi.org/10.1016/j.apnum.2021.04.010>
 - [25] Wang, X., Kou, J. and Gao, H. (2021) Linear Energy Stable and Maximum Principle Preserving Semi-Implicit Scheme for Allen-Cahn Equation with Double Well Potential. *Communications in Nonlinear Science and Numerical Simulation*, **98**, Article ID: 105766. <https://doi.org/10.1016/j.cnsns.2021.105766>
 - [26] 乔寒月, 张鑫, 刘晓, 等. 一维 Allen-Cahn 方程紧差分格式的离散最大化原则和能量稳定性研究[J]. 应用数学学报, 2021, 44(1): 79-92.